

Starkniederschlagshöhen und -spenden gemäß KOSTRA-DWD-2010R

Auswertungszeitraum von 1951 - 2010, Januar - Dezember

Rasterfeld: 81036

Zeile: 81

Spalte: 36

Seite: 1/2

| Dauerstufe D | Wiederkehrzeit T | | | | | | | | | | | | | | | | | | |
|--------------|------------------|------|------------|------|------------|------|------------|------|------------|------|------------|-------|------------|-------|------------|-------|------------|-------|------------|
| | 1 a | | 2 a | | 3 a | | 5 a | | 10 a | | 20 a | | 30 a | | 50 a | | 100 a | | |
| min | Std | mm | l / (s ha) | mm | l / (s ha) | mm | l / (s ha) | mm | l / (s ha) | mm | l / (s ha) | mm | l / (s ha) | mm | l / (s ha) | mm | l / (s ha) | mm | l / (s ha) |
| 5 | | 4,9 | 163,3 | 6,3 | 210,0 | 7,2 | 240,0 | 8,3 | 276,7 | 9,7 | 323,3 | 11,2 | 373,3 | 12,1 | 403,3 | 13,2 | 440,0 | 14,6 | 486,7 |
| 10 | | 7,7 | 128,3 | 9,8 | 163,3 | 11,0 | 183,3 | 12,5 | 208,3 | 14,5 | 241,7 | 16,6 | 276,7 | 17,8 | 296,7 | 19,3 | 321,7 | 21,4 | 356,7 |
| 15 | | 9,6 | 106,7 | 12,1 | 134,4 | 13,6 | 151,1 | 15,4 | 171,1 | 17,9 | 198,9 | 20,4 | 226,7 | 21,9 | 243,3 | 23,7 | 263,3 | 26,2 | 291,1 |
| 20 | | 10,9 | 90,8 | 13,8 | 115,0 | 15,5 | 129,2 | 17,6 | 146,7 | 20,5 | 170,8 | 23,3 | 194,2 | 25,0 | 208,3 | 27,1 | 225,8 | 30,0 | 250,0 |
| 30 | | 12,7 | 70,6 | 16,2 | 90,0 | 18,2 | 101,1 | 20,8 | 115,6 | 24,3 | 135,0 | 27,8 | 154,4 | 29,8 | 165,6 | 32,4 | 180,0 | 35,9 | 199,4 |
| 45 | | 14,2 | 52,6 | 18,5 | 68,5 | 20,9 | 77,4 | 24,1 | 89,3 | 28,3 | 104,8 | 32,6 | 120,7 | 35,1 | 130,0 | 38,2 | 141,5 | 42,5 | 157,4 |
| 60 | | 15,1 | 41,9 | 20,0 | 55,6 | 22,9 | 63,6 | 26,5 | 73,6 | 31,4 | 87,2 | 36,2 | 100,6 | 39,1 | 108,6 | 42,7 | 118,6 | 47,6 | 132,2 |
| 90 | | 17,0 | 31,5 | 22,2 | 41,1 | 25,3 | 46,9 | 29,2 | 54,1 | 34,4 | 63,7 | 39,7 | 73,5 | 42,7 | 79,1 | 46,6 | 86,3 | 51,9 | 96,1 |
| 120 | 2 | 18,5 | 25,7 | 24,0 | 33,3 | 27,2 | 37,8 | 31,3 | 43,5 | 36,8 | 51,1 | 42,3 | 58,8 | 45,5 | 63,2 | 49,6 | 68,9 | 55,1 | 76,5 |
| 180 | 3 | 20,8 | 19,3 | 26,7 | 24,7 | 30,2 | 28,0 | 34,5 | 31,9 | 40,4 | 37,4 | 46,4 | 43,0 | 49,8 | 46,1 | 54,2 | 50,2 | 60,1 | 55,6 |
| 240 | 4 | 22,6 | 15,7 | 28,8 | 20,0 | 32,5 | 22,6 | 37,1 | 25,8 | 43,3 | 30,1 | 49,5 | 34,4 | 53,1 | 36,9 | 57,7 | 40,1 | 63,9 | 44,4 |
| 360 | 6 | 25,5 | 11,8 | 32,1 | 14,9 | 36,0 | 16,7 | 40,9 | 18,9 | 47,6 | 22,0 | 54,3 | 25,1 | 58,2 | 26,9 | 63,1 | 29,2 | 69,7 | 32,3 |
| 540 | 9 | 28,7 | 8,9 | 35,8 | 11,0 | 40,0 | 12,3 | 45,3 | 14,0 | 52,4 | 16,2 | 59,6 | 18,4 | 63,7 | 19,7 | 69,0 | 21,3 | 76,1 | 23,5 |
| 720 | 12 | 31,2 | 7,2 | 38,7 | 9,0 | 43,1 | 10,0 | 48,6 | 11,3 | 56,1 | 13,0 | 63,6 | 14,7 | 68,0 | 15,7 | 73,6 | 17,0 | 81,1 | 18,8 |
| 1080 | 18 | 35,1 | 5,4 | 43,2 | 6,7 | 47,9 | 7,4 | 53,8 | 8,3 | 61,9 | 9,6 | 69,9 | 10,8 | 74,6 | 11,5 | 80,6 | 12,4 | 88,6 | 13,7 |
| 1440 | 24 | 38,2 | 4,4 | 46,7 | 5,4 | 51,6 | 6,0 | 57,8 | 6,7 | 66,3 | 7,7 | 74,8 | 8,7 | 79,7 | 9,2 | 85,9 | 9,9 | 94,4 | 10,9 |
| 2880 | 48 | 50,4 | 2,9 | 59,9 | 3,5 | 65,4 | 3,8 | 72,5 | 4,2 | 82,0 | 4,7 | 91,5 | 5,3 | 97,0 | 5,6 | 104,1 | 6,0 | 113,6 | 6,6 |
| 4320 | 72 | 59,2 | 2,3 | 69,3 | 2,7 | 75,3 | 2,9 | 82,7 | 3,2 | 92,9 | 3,6 | 103,0 | 4,0 | 108,9 | 4,2 | 116,4 | 4,5 | 126,5 | 4,9 |

Angaben in mm: Bemessungsniederschlagswerte h(n)

Angaben in l / (s ha): Regenspende R(n) mit $R(n) = h(n) \times 1,666667 / D[\text{min}]$

Toleranzbereiche:

+/- 10 % für $1 \text{ a} \leq T \leq 5 \text{ a}$

+/- 15 % für $5 \text{ a} < T \leq 50 \text{ a}$

+/- 20 % für $50 \text{ a} < T \leq 100 \text{ a}$

Datenbasis: KOSTRA-DWD-2010R des Deutschen Wetterdienstes. Die Regenspende wurde auf Basis des Bemessungsniederschlags zur jeweiligen Andauer berechnet.

Für die Richtigkeit und Aktualität der Angaben wird keine Gewähr übernommen. Erstellt 07/2022.

Starkniederschlagshöhen und -spenden gemäß KOSTRA-DWD-2010R

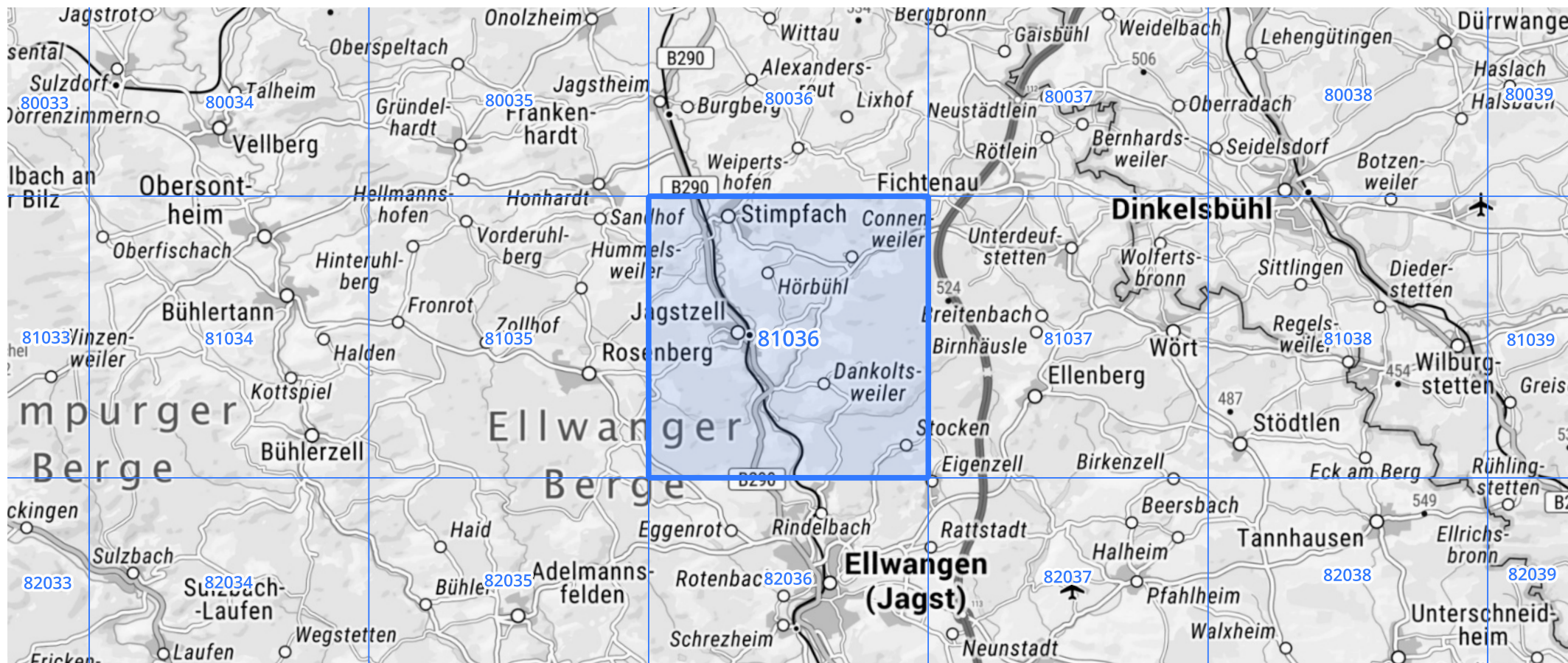
Auswertungszeitraum von 1951 - 2010, Januar - Dezember

Rasterfeld: 81036

Zeile: 81

Spalte: 36

Seite: 2/2



Quelle Rasterdaten: KOSTRA-DWD-2010R des Deutschen Wetterdienstes.

Kartendarstellung: © Bundesamt für Kartographie und Geodäsie (2022), Datenquellen: https://sgx.geodatenzentrum.de/web_public/gdz/datenquellen/Datenquellen_TopPlusOpen.html

Für die Richtigkeit und Aktualität der Angaben wird keine Gewähr übernommen. Erstellt 07/2022.